

Télémétrie par ultrasons

A. Détecteurs à ultrasons

A1. 10 m (portée US) semblent $>$ à 2 m (portée IR)

A2. Détecteurs IR: La nature des matériaux n'induit pas de différence de détection, mais un contraste important est nécessaire entre la couleur de l'objet et du fond

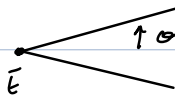
détecteurs US: Les couleurs des matériaux ne modifient pas la détection mais l'état de surface (absorbent surtout) oui.

A3. Facteurs perturbants: US: courant d'air brusque / gradient de température

IR: faible contraste entre l'objet et le fond.

A4. Domaine audible: $20 < f < 20 \text{ kHz}$. US: $f \geq 20 \text{ kHz}$, 40 kHz en général

A5. Il s'agit de la diffraction (au niveau de l'émetteur)



$$\sin \theta \approx \frac{\lambda}{a}$$

a : dim de l'émetteur

la valeur exacte dépend de la forme de la surface diffractante

or: $\lambda_{US} \approx 8,7 \text{ cm}$ à (40 kHz)

$\lambda_{IR} \approx 900 \text{ nm} \ll \lambda_{US}$

$$\theta_{IR} \ll \theta_{US}$$

la directivité est donc meilleure en IR.

A6. US: échographies, sonar de sous-marin

IR: caméra thermique, détecteur de présence, télécommandes

B. La limite de l'onde US.

B1. On a: $PV = nRT \Rightarrow \frac{P}{\rho} = \frac{RT}{\rho_0} \Rightarrow P_0 + p_i(x,t) = \frac{RT}{\rho_0} (\rho_0 + \rho_i(x,t))$

donc:
$$\begin{cases} P_0 = \rho_0 \frac{RT}{\rho_0} \\ P_i = \rho_i \frac{RT}{\rho_0} \end{cases}$$

or $p_i \ll P_0 \Rightarrow \rho_i \ll \rho_0$

B2 $dm(t) = \rho(x, t) S dx$ et $dm(t+dt) = \rho(x, t+dt) S dx$

B3 $S_{me} = \rho(x, t) v_1(x, t) dt$ et $S_{ms} = \rho(x+dx, t) v_1(x+dx, t) dt$
 $\approx \rho v_1(x, t) dx$ $\approx \rho v_1(x+dx, t) dx$ au 1^{er} ordre

B4. Le bilan de masse s'écrit: $S_{me} + dm(t) = S_{ms} + dm(t+dt) \Rightarrow d^2m = dm(t+dt) - dm(t) = S_{me} - S_{ms}$

$$\frac{\partial \rho}{\partial t} dx S dx = - \rho dx \frac{\partial v_1}{\partial x} dx \Rightarrow \frac{\partial \rho}{\partial t} + \rho \frac{\partial v_1}{\partial x} = 0 \quad (R_1)$$

B5. $\rho \frac{\partial \vec{v}}{\partial t} = - \text{grad } p \xrightarrow{1D} \rho \frac{\partial v_1}{\partial t} = - \frac{\partial p}{\partial x} \xrightarrow{\text{approx}} \rho \frac{\partial v_1}{\partial t} = - \frac{\partial p}{\partial x} \quad (R_2)$

B6. la succession de compression / détente créée par l'onde sonore est supposée suffisamment rapide pour que l'évolution soit **adiabatique**

B7 $\chi_s = \frac{1}{\rho} \left. \frac{\partial \rho}{\partial p} \right|_s = \frac{1}{\rho} \frac{d\rho}{dp}$ car S est constant (si $S = \text{const}$, $d\rho = \frac{\partial \rho}{\partial S} dS + \frac{\partial \rho}{\partial p} dp = \frac{\partial \rho}{\partial p} dp$)
 $= \frac{1}{\rho + \rho_1} \frac{\rho_1}{p_1} \approx \frac{1}{\rho} \frac{\rho_1}{p_1} \quad (R_3)$

B8
$$\left\{ \begin{array}{l} \frac{\partial \rho_1}{\partial t} + \rho \frac{\partial v_1}{\partial x} = 0 \\ \rho \frac{\partial v_1}{\partial t} = - \frac{\partial p_1}{\partial x} \\ \chi_s = \frac{1}{\rho} \frac{\rho_1}{p_1} \end{array} \right. \rightarrow \left\{ \begin{array}{l} \frac{\partial v_1}{\partial x} = - \frac{1}{\rho} \frac{\partial \rho_1}{\partial t} \\ \frac{\partial v_1}{\partial t} = - \frac{1}{\rho} \frac{\partial p_1}{\partial x} \\ \rho_1 = \rho \chi_s p_1 \end{array} \right. \rightarrow \left\{ \begin{array}{l} \frac{\partial v_1}{\partial x} = - \chi_s \frac{\partial p_1}{\partial t} \\ \frac{\partial v_1}{\partial t} = - \frac{1}{\rho} \frac{\partial p_1}{\partial x} \end{array} \right. \quad \text{équations de complexe}$$

Il vient: $\frac{\partial^2 v_1}{\partial t \partial x} = - \chi_s \frac{\partial^2 p_1}{\partial t^2} \xrightarrow{\text{commut}} \frac{\partial^2 v_1}{\partial x \partial t} = - \frac{1}{\rho} \frac{\partial^2 p_1}{\partial x^2} \Rightarrow \frac{\partial^2 p_1}{\partial x^2} = \rho \chi_s \frac{\partial^2 p_1}{\partial t^2} \quad c^{-2}$
 (th. de Schwarz)

B9 On a: $PV^{\gamma} = \text{const} \Rightarrow P \mu^{-\gamma} = \text{const}' \Rightarrow \frac{dp}{p} - \gamma \frac{d\rho}{\rho} = 0 \Rightarrow \frac{p_1}{p_0} = \gamma \frac{\rho_1}{\rho_0} \Rightarrow \chi_s = \frac{1}{\rho} \frac{\rho_1}{p_1} = \frac{1}{\gamma p_0}$

$$c = \frac{1}{\sqrt{\rho \chi_s}} = \sqrt{\frac{\gamma p_0}{\rho}} = \sqrt{\gamma \frac{RT}{M}}$$

B10. Graphiquement on obtient: $\begin{cases} \alpha = 0,58 \text{ m} \cdot \text{s}^{-1} \cdot \text{°C}^{-1} \\ \beta = 331 \text{ m} \cdot \text{s}^{-1} \end{cases}$

B11 On a donc : $c^2(\theta) = b^2 + 2ab\theta = \frac{\delta R}{\pi a} (T_{273} + \theta)$

$$\Rightarrow \begin{cases} 2ab\theta = \frac{\delta R}{\pi a} \theta \\ b^2 = \frac{\delta R}{\pi a} T_{273} \end{cases} \rightarrow \begin{cases} b = \sqrt{\frac{\delta R T_{273}}{\pi a}} = 6 \rightarrow 6 = 23 \text{ m.s}^{-1} \\ a = \frac{1}{2b} \frac{\delta R}{\pi a} = \frac{1}{2 \times 6} \times \frac{6^2}{T_{273}} = \frac{6}{2 \times 273} \quad \delta = 1,4 \end{cases}$$

B12 A la ligne 14 du script, on ajoute à la liste veld e(t), n termes uo Routr:

$$100. d_j \left(\frac{c(\theta^i)}{c(\theta_i)} - 1 \right)$$

or l'écart e vaut $e = d_m - d_r = (c(\theta_{ref}) - c(\theta)) \Delta t = c(\theta) \left(\frac{c(\theta_{ref}) - c(\theta)}{c(\theta)} \right) \Delta t$

$$e = d_r \left(\frac{c(\theta_{ref}) - c(\theta)}{c(\theta)} \right) \quad \theta_{ref} = 20^\circ\text{C}$$

B13. Il y a 1 facteur 100 a ligne 14 $\Rightarrow e$ est en cm

la liste de températures créées en LT contient les uo Routr: 0, 10, 20 et 30 °C

$e(\theta_i) < 0$ car la vitesse de l'onde est \gg à celle de référence du robot

$$\text{donc } \underbrace{d_m}_{\text{mesurée}} < d_r \Rightarrow e < 0 \quad \rightarrow \text{réelle}$$

B14. Si $d_r = 1,5 \text{ m}$ dans (cf fig 3) $e(30^\circ\text{C}) = -2,5 \text{ cm} \Rightarrow \epsilon_r = \left| \frac{e}{d_r} \right| = 1,7\%$

l'écart est faible. Sauf à avoir un besoin fort de précision, il semble raisonnable de s'affranchir de 1 capteur de température

C. Réflexion de l'onde ultrasonore

C1. Nous avons montré en cours qu'il y a continuité de la pression à l'interface

$$p_1(\omega^-, t) = p_2(\omega^+, t) \Rightarrow p_i(\omega, t) + p_r(\omega, t) = p_t(\omega, t)$$

$$p_{i0} + p_{r0} = p_{t0} \quad (R_1)$$

C2 De même: $v_1(\omega^-, t) = v_2(\omega^+, t) \Rightarrow v_{i0} + v_{r0} = v_{t0} \quad (R_2)$

$$\left. \begin{aligned} (R_1) \Rightarrow 1 + \frac{v_{r0}}{v_{i0}} &= \frac{v_{t0}}{v_{i0}} \Rightarrow 1 + r = t \\ (R_2) \Rightarrow 1 + \frac{p_{r0}}{p_{i0}} &= \frac{p_{t0}}{p_{i0}} \Rightarrow 1 - r = \frac{z_2}{z_1} t \end{aligned} \right\} \Rightarrow \begin{cases} r = \frac{z_1 - z_2}{z_1 + z_2} \\ t = \frac{2z_1}{z_1 + z_2} \end{cases}$$

C4. Le vecteur de Poynting traduit le déplacement de l'énergie acoustique.

Son flux Φ à travers une surface S vaut la puissance rayonnée à travers celle-ci

$$P_s = \iint_S \vec{\pi} \cdot d\vec{S} = \langle \vec{\pi} \rangle \cdot \vec{S}, \quad \vec{\pi} \text{ en } \text{W} \cdot \text{m}^{-2}$$

$$C5. \|\langle \vec{\pi} \rangle\| = \|\frac{1}{2} \operatorname{Re}(\underline{p}^* \cdot \underline{v})\| = \frac{1}{2} z_1 v^2 \Rightarrow \|\langle \vec{\pi}_i \rangle\| = \frac{1}{2} z_1 v_{i0}^2 \quad \text{et} \quad \|\langle \vec{\pi}_t \rangle\| = \frac{1}{2} z_1 v_{t0}^2$$

$$\|\langle \vec{\pi}_r \rangle\| = \frac{1}{2} z_1 v_{r0}^2$$

Il vient: $R = r^2 = \left(\frac{z_1 - z_2}{z_1 + z_2}\right)^2$ et $T = \frac{z_2}{z_1} t^2 = \frac{4z_1 z_2}{(z_1 + z_2)^2}$

C6. $R + T = 1$ traduit le conservateur de l'énergie acoustique

C7. Les milieux que le robot détectera sont tels que $T \ll R$, ceux tels que $T \approx 1$ et donc $R \approx 0$ le seront moins bien.

La condition de mauvaise détection est donc $z_1 \approx z_2$

Le matériau le - bien détecté est donc le polystyrène expansé: $R \approx 0, T$ et $T \approx 0, R$

D. Détection d'un obstacle mobile

D1. On voit que les solutions élastiques vérifient l'équation de propagation

↳ on obtient donc la relation de dispersion $k_i = \frac{\omega_0}{c}$ et $k_r = \frac{\omega_r}{c}$

D2. Il faut donc qu'en $x_p = -vt$: $\vec{v}_i(x_p, t) + \vec{v}_r(x_p, t) = \vec{0}$

ce qui donne: $v_{i0} e^{j(\omega_0 t - k_i x_p)} + v_{r0} e^{j(\omega_r t + k_r x_p)} = 0$ (proj. sur Ox)

$v_{i0} e^{j(\omega_0 + k_i v)t} + v_{r0} e^{j(\omega_r - k_r v)t} = 0$ (car $x_p = -vt$)

or $t = 0$ (pas d'onde transmise), donc $x = -1 \Rightarrow v_{r0} = -v_{i0}$ (astuce)

↳ $e^{j(\omega_0 + k_i v)t} = e^{j(\omega_r - k_r v)t} \quad \forall t \Rightarrow \omega_0 + k_i v = \omega_r - k_r v$

D3. En combinant D1 et D2 $\Rightarrow \omega_0 \left(1 + \frac{v}{c}\right) = \omega_r \left(1 - \frac{v}{c}\right) \Rightarrow \omega_r = \omega_0 \frac{1 + v/c}{1 - v/c}$

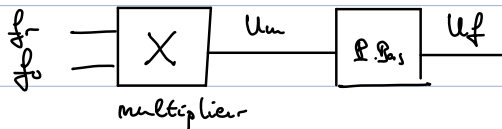
Du On a: $\frac{v}{c} \ll 1 \Rightarrow \frac{\omega_r}{\omega_0} \stackrel{\text{D1 et D2}}{\approx} (1 + v/c) \times (1 + v/c) = (1 + v/c)^2 \approx 1 + 2v/c$ cfd.

Rem: attent à ne pas << $\frac{v}{c}$ devant, au numérateur (DL \cos) et garder $\frac{v}{c}$ au dénominateur, les DL doivent être made au même ordre partout!

D5. Le robot perçoit un signal de fréquence: $f_r = f_0(1 + \frac{v}{c})$

par X par f_0 , le spectre obtenu est $f_r + f_0, f_r - f_0 = 2f_0 \frac{v}{c}$

Il faut donc extraire par un filtre passe-bas la fréquence $f_r - f_0$.

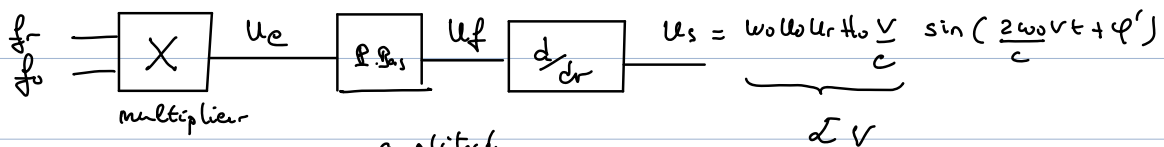


$$u_c(t) = k u_0 \cos(\omega_0 t) \cos(\omega_r t + \varphi) = \frac{1}{2} k u_0 \left[\cos((\omega_0 + \omega_r)t + \varphi) + \cos((\omega_r - \omega_0)t + \varphi) \right]$$

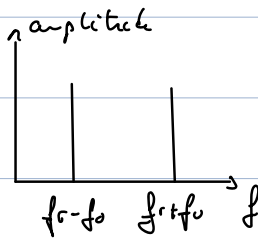
$$u_f = \frac{k}{2} u_0 v \cos((2\omega_0 \frac{v}{c})t + \varphi)$$

↓
du filtre

Il faut donc dériver u_f pour que l'amplitude soit $d \text{ à } v$



D6. cf D5 (debut)



D7. Le sujet se répète. cf D5. Il faut: $\omega_r - \omega_0 < \omega_c < \omega_r + \omega_0$

$$1.5 \cdot 10^3 < \omega_c < 5 \cdot 10^7 \text{ rad} \cdot \text{s}^{-1}$$

D8. L'étude asymptotique (HF, BF) montre que seul le filtre est 1 passe bas

(1 est 1 phase, 3 est 1 gain bas)

$$D9: H_2 = \frac{z_c}{z_c + R} = \frac{1}{1 + jRC\omega} = \frac{1}{1 + jx} \text{ avec } x = \frac{\omega}{\omega_0}, \omega_0 = \frac{1}{RC} = \omega_c$$

D10. Un gain bas d'ordre 1 atteint en HF d'1 facteur 10 par décades (cf cours)
Il faut donc 2 décades $\Rightarrow \omega_c = 5 \cdot 10^3 \text{ rad} \cdot \text{s}^{-1} \Rightarrow H(\omega_r - \omega_0) = 0.96 \rightarrow$ pas d'atténuation.

Mines Ponts PSI Physique 1, extrait :

□ - 1.

On peut estimer le nombre total N_0 de caractères à coder, à $N_0 = 32 + 10 + 5 = 47$, la puissance de deux directement supérieur à N_0 est $64 = 2^6$, il faut 6 bits pour coder tous les caractères voulus.

Chaque ligne comporte environ 10^2 caractères en ordre de grandeur, et il y a $5 \cdot 10^1$ lignes environ dans une page.

Au total le codage d'une page nécessite de coder environ $5 \cdot 10^3$ caractères, il faut donc à l'opérateur environ 10^4 secondes, comme une heure totalise 3600 secondes, il faut un peu moins de 3 heures pour coder la page.

□ - 2.

Les termes d'une somme étant nécessairement homogène, on déduit des équations fournies :

$$\left\{ \begin{array}{l} -1 - \left[\frac{R_0}{\chi_0} \right] = \frac{Ut}{IL} \\ -2 - \left[\frac{R_0}{\ell_0} \right] = \frac{U}{IL} \\ -3 - [R_0 \chi_0] = \frac{UL}{It} \end{array} \right.$$

On déduit, en multipliant terme à terme $-1-$ et $-3-$: $[R_0^2] = \left(\frac{U}{I}\right)^2$, donc l'unité usuelle de R_0 est l'"ohm".

Puis avec $-2-$, l'unité de ℓ_0 est le "mètre".

Enfin de $-3-$ on déduit $[\chi_0] = \frac{L}{t}$, l'unité de χ_0 est celle d'une vitesse donc "mètre par seconde".

□ - 3.

Le modèle reste valable dans la mesure où le circuit électrique est effectivement fermé en passant par la Terre.

□ - 4.

On commence par dériver partiellement par rapport à z les deux membres de la première équation couplée :

$$\frac{\partial}{\partial z} \left(-\frac{\partial u}{\partial z} \right) = \frac{\partial}{\partial z} \left(\frac{R_0}{\chi_0} \frac{\partial i}{\partial t} + \frac{R_0}{\ell_0} i \right)$$

$$-\frac{\partial^2 u}{\partial z^2} = \frac{R_0}{\chi_0} \frac{\partial}{\partial t} \left(\frac{\partial i}{\partial z} \right) + \frac{R_0}{\ell_0} \frac{\partial i}{\partial z} \quad \text{en inversant l'ordre de dérivation de } i \text{ par rapport à } z \text{ et } t$$

On obtient ainsi l'équation de propagation :

$$\boxed{\frac{\partial^2 u}{\partial z^2} = \frac{1}{\chi_0^2} \frac{\partial^2 u}{\partial t^2} + \frac{1}{\chi_0 \ell_0} \frac{\partial u}{\partial t}} \quad \text{en utilisant la deuxième équation couplée}$$

L'énoncé fait référence à un vecteur d'onde \vec{k} , qui se révélera être complexe, la notation est donc peu claire.

(Il y a ici, beaucoup d'implicite...)

De plus le vecteur d'onde complexe, $\vec{k} = \overline{k} \vec{e}_z$, intervient dans l'expression de la tension complexe non donnée $\overline{u}(z, t)$:

$$\overline{u}(z, t) = U_0 \exp \left(j \left(\omega t - \vec{k} \cdot \overrightarrow{OM} \right) \right),$$

soit, puisque dans le milieu unidimensionnel que constitue la ligne, $\overrightarrow{OM} = z \vec{e}_z$:

$$\overline{u}(z, t) = U_0 \exp \left(j \left(\omega t - \overline{k} z \right) \right).$$

L'équation de dispersion se déduit de l'équation de propagation en y remplaçant \overline{u} par son expression, comme celle-ci est linéaire, en simplifiant par $\exp \left(j \left(\omega t - \overline{k} z \right) \right)$, on obtient :

$$\boxed{-\overline{k}^2 = \frac{-\omega^2}{\chi_0^2} + \frac{j\omega}{\chi_0 \ell_0}}$$

Remarque : On peut écrire cette relation de dispersion en remplaçant \bar{k} par \vec{k} .

□ - 5.

L'équation de dispersion montre que \bar{k} est complexe, puisque ω est réel.

$$\bar{k}^2 = \frac{\omega^2}{\chi_0^2} \left(1 - \frac{j\chi_0}{\omega\ell_0} \right)$$

le terme correspondant à la limitation de la propagation est : $\frac{j\chi_0}{\omega\ell_0}$

$$\bar{k} = \frac{\omega}{\chi_0} \left(1 - \frac{j\chi_0}{\omega\ell_0} \right)^{1/2}$$

soit, à l'ordre 1 par rapport au terme limitant :

$$\bar{k} = \frac{\omega}{\chi_0} \left(1 - \frac{1}{2} \frac{j\chi_0}{\omega\ell_0} \right)$$

$$\boxed{\bar{k} = \frac{\omega}{\chi_0} - \frac{j}{2\ell_0}}$$

Lorsque le vecteur d'onde est complexe, $\bar{k} = k_1 + jk_2$, k_1 et k_2 étant respectivement les parties réelle et imaginaire de \bar{k} . La vitesse de phase est définie par :

$$v_\varphi = \frac{\omega}{k_1}$$

Dans le cas de $\bar{k} = \frac{\omega}{\chi_0} - \frac{j}{2\ell_0}$, on identifie $k_1 = \frac{\omega}{\chi_0}$, donc la vitesse de phase est :

$$\boxed{v_\varphi = \chi_0}$$

Ainsi, à cet ordre de développement, il n'y a pas de dispersion, puisque la vitesse de phase ne dépend pas de la fréquence de l'onde.

□ - 6.

La puissance électrique instantanée transportée par la ligne est définie par :

$$p(z, t) = u(z, t) i(z, t),$$

$$\text{et } \mathcal{P}_m = \frac{1}{T} \int_0^T p dt.$$

On cherche $u(z, t)$ et $i(z, t)$.

Comme le vecteur d'onde est complexe, on commence par exprimer $\bar{u}(z, t)$ et $\bar{i}(z, t)$.

$$\bar{u}(z, t) = \bar{u} \left(0, t - \frac{\bar{k}}{\omega} z \right) \text{ l'onde en } z \text{ se déduit de l'onde en } z = 0$$

$$\bar{u}(z, t) = U_0 \exp \left(j \left(\omega t - \bar{k} z \right) \right)$$

$$\boxed{u(z, t) = U_0 \exp \left(\frac{-z}{2\ell_0} \right) \cos \left(\omega t - \frac{\omega}{\chi_0} z \right)}$$

Pour l'expression de \bar{i} , on part d'une équation couplée :

$$\frac{\partial \bar{i}}{\partial z} = \frac{-1}{R_0 \chi_0} \frac{\partial \bar{u}}{\partial t}$$

$$\frac{\partial \bar{i}}{\partial z} = \frac{-j\omega}{R_0 \chi_0} \bar{u} \text{ soit, en intégrant par rapport à } z :$$

$$\bar{i} = \frac{j\omega}{j\bar{k}R_0\chi_0} \bar{u} + f(t)$$

$f(t)$ est nécessairement nul,

puisque'une fonction du temps seulement ne peut pas représenter une onde.

Avec $\phi_{\bar{k}} = \text{Arg}(\bar{k})$, en prenant la partie réelle de \bar{i} , on déduit $i(z, t)$:

$$i(z, t) = \frac{\omega U_0}{|\bar{k}|R_0\chi_0} \exp\left(\frac{-z}{2\ell_0}\right) \cos\left(\omega t - \frac{\omega}{\chi_0}z - \phi_{\bar{k}}\right)$$

Avec les expressions obtenues pour u et i , il vient immédiatement que :

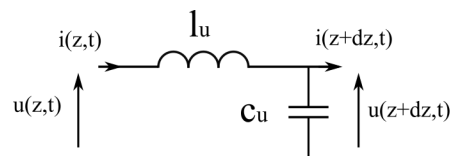
$$\mathcal{P}_m = \mathcal{P}_{m0} \exp\left(\frac{-z}{\ell_0}\right).$$

La distance caractéristique d'atténuation de la puissance transmise est ℓ_0 .

Remarque : à l'ordre 1 par rapport à la perturbation, $|\bar{k}| = \frac{\omega}{\chi_0}$, et on peut préciser, bien que cela ne soit pas demandé,

l'expression de $\mathcal{P}_{m0} = \frac{U_0^2}{2R_0}$.

□ - 7.



Voir le cours...qui établit les équations couplées :

$$\begin{cases} \frac{\partial u}{\partial z} = -\ell_u \frac{\partial i}{\partial t} \\ \frac{\partial i}{\partial z} = -c_u \frac{\partial u}{\partial t} \end{cases}$$

En combinant ces deux équations on obtient l'équation de d'Alembert :

$$\frac{\partial^2 u}{\partial z^2} = \ell_u c_u \frac{\partial^2 u}{\partial t^2}$$

On identifie donc la célérité des ondes sur le câble coaxial sans pertes :

$$c = \frac{1}{\sqrt{\ell_u c_u}}$$

□ - 8.

L'application numérique donne : $c = 2,4 \cdot 10^8 \text{ m}\cdot\text{s}^{-1}$.

Le délai donné dans la fiche technique est en "temps par distance", son inverse correspond donc à la célérité des ondes, soit $\frac{1}{4} = 0,25 \text{ m}\cdot\text{ns}^{-1} = 2,5 \cdot 10^8 \text{ m}\cdot\text{s}^{-1}$.

La célérité correspond bien à l'inverse du délai.

□ - 9.

L'impédance caractéristique Z_0 du câble est définie par :

$$Z_0 = \frac{u^+}{i^+},$$

où u^+ et i^+ sont les ondes strictement progressives, respectivement de tension et de courant sur le câble.

On détermine Z_0 à l'aide d'une des deux équations couplées.

Considérons les représentations complexes d'ondes progressives sinusoïdales :

$$\bar{u}^+ = \bar{U}_0 \exp(j(\omega t - kz)) \quad \text{et} \quad \bar{i}^+ = \bar{I}_0 \exp(j(\omega t - kz))$$

dans la première équation couplée :

$$\frac{\partial \bar{u}^+}{\partial z} = -\ell_u \frac{\partial \bar{i}^+}{\partial t}$$

$$-jk\bar{u}^+ = -\ell_u j\omega \bar{i}^+$$

$$\frac{\bar{u}^+}{\bar{i}^+} = \frac{\ell_u \omega}{k}$$

finalement :

$$Z_0 = \ell_u c = \sqrt{\frac{\ell_u}{c_u}}$$

La valeur numérique de Z_0 est : $Z_0 = 78 \Omega$. On remarque une légère différence entre Z_0 et l'impédance du câble, égale à 75Ω dans la documentation.

□ - 10.

En utilisant l'impédance caractéristique, l'expression de \bar{i}^+ est :

$$\bar{i}^+ = \frac{\bar{U}^+}{Z_0} \exp(j(\omega t - kz)).$$

Pour établir les expressions des ondes de tension et de courant réfléchies, on écrit la condition limite sur l'impédance \bar{Z}_e , en $z = 0$:

$$\bar{u}^+(0, t) + \bar{u}^-(0, t) = \bar{Z}_e (\bar{i}^+(0, t) + \bar{i}^-(0, t))$$

$$\bar{u}^+(0, t) + \bar{u}^-(0, t) = \frac{\bar{Z}_e}{Z_0} (\bar{u}^+(0, t) - \bar{u}^-(0, t))$$

$$\bar{u}^-(0, t) \left(1 + \frac{\bar{Z}_e}{Z_0}\right) = \bar{u}^+(0, t) \left(-1 + \frac{\bar{Z}_e}{Z_0}\right)$$

On en déduit l'onde de tension réfléchiée en (z, t) :

$$\bar{u}^-(z, t) = \frac{\bar{Z}_e - Z_0}{\bar{Z}_e + Z_0} \bar{U}^+ \exp(j(\omega t + kz))$$

et

$$\bar{i}^-(z, t) = \frac{\bar{Z}_e - Z_0}{-Z_0(\bar{Z}_e + Z_0)} \bar{U}^+ \exp(j(\omega t + kz))$$

□ - 11.

L'onde de tension résultant de la superposition de l'onde incidente et de l'onde réfléchie est :

$$\bar{u}(z, t) = \bar{u}^+(z, t) + \bar{u}^-(z, t)$$

$$\bar{u}(z, t) = \bar{U}^+ \exp(j(\omega t - kz)) + \frac{\bar{Z}_e - Z_0}{\bar{Z}_e + Z_0} \bar{U}^+ \exp(j(\omega t + kz))$$

$$\bar{u}(z, t) = \bar{U}^+ \exp(j\omega t) \left[\exp(-jkz) + \frac{\bar{Z}_e - Z_0}{\bar{Z}_e + Z_0} \exp(jkz) \right]$$

dans l'onde incidente on remplace 1 dans le terme facteur de $\exp(-jkz)$ par $:\frac{2Z_0}{\bar{Z}_e + Z_0} + \frac{\bar{Z}_e - Z_0}{\bar{Z}_e + Z_0}$

$$\bar{u}(z, t) = \frac{2Z_0}{\bar{Z}_e + Z_0} \bar{U}^+ \exp(j(\omega t - kz)) + \frac{\bar{Z}_e - Z_0}{\bar{Z}_e + Z_0} \bar{U}^+ \exp(j\omega t) (\exp(-jkz) + \exp(+jkz))$$

Sur cette dernière expression, l'onde de tension est la somme d'une onde progressive incidente et d'une onde stationnaire, dont les amplitudes respectives sont :

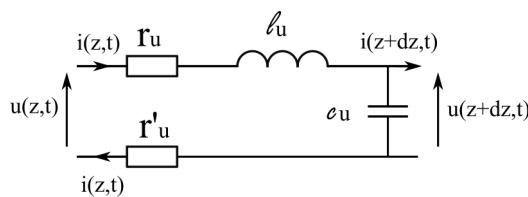
$$U_p = \left| \frac{2Z_0}{\bar{Z}_e + Z_0} \bar{U}^+ \right| \quad \text{et} \quad U_s = 2 \left| \frac{\bar{Z}_e - Z_0}{\bar{Z}_e + Z_0} \bar{U}^+ \right|$$

on en déduit :

$$\rho = \frac{|\bar{Z}_e - Z_0|}{Z_0}$$

on constate que $\rho = 0$ si $\bar{Z}_e - Z_0 = 0$, c'est à dire que $\bar{Z}_e = Z_0$

□ - 12.



On établit les équations couplées, en écrivant la loi des nœuds (LDN) et la loi des mailles (LDM) :

$$\begin{cases} \text{LDM} : u(z, t) = l_u dz \frac{\partial i}{\partial t} + r_u dz i(z, t) + u(z + dz, t) + r'_u dz i(z, t) \\ \text{LDN} : i(z, t) = c_u dz \frac{\partial u}{\partial t}(z + dz) + i(z + dz, t) \end{cases}$$

soit, en se limitant à l'ordre 1 en dz :

$$\begin{cases} -\frac{\partial u}{\partial z} dz = l_u dz \frac{\partial i}{\partial t} + (r_u + r'_u) dz i(z, t) \\ -\frac{\partial i}{\partial z} dz = c_u dz \frac{\partial u}{\partial t}(z, t) \end{cases}$$

enfin, en simplifiant par dz :

$$\begin{cases} -\frac{\partial u}{\partial z} = l_u \frac{\partial i}{\partial t} + (r_u + r'_u) i(z, t) \\ -\frac{\partial i}{\partial z} = c_u \frac{\partial u}{\partial t}(z, t) \end{cases}$$

En combinant les équations couplées on déduit l'équation de propagation :

$$\boxed{\frac{\partial^2 u}{\partial z^2} = l_u c_u \frac{\partial^2 u}{\partial t^2} + (r_u + r'_u) c_u \frac{\partial u}{\partial t}}$$

Pour identifier la distance d'atténuation, on peut remarquer que l'équation de propagation obtenue dans le cas du câble coaxial avec résistance propre du cœur et de la gaine est analogue à l'équation aux dérivées partielles obtenue à la question

$$4: \frac{\partial^2 u}{\partial z^2} = \frac{1}{\chi_0^2} \frac{\partial^2 u}{\partial t^2} + \frac{1}{\chi_0 \ell_0} \frac{\partial u}{\partial t}$$

Ainsi on identifie :

– la célérité χ'_0 sur le câble coaxial : $\chi'_0 = \frac{1}{\sqrt{l_u c_u}}$

– la longueur $2l'_0$ d'atténuation de l'amplitude des ondes, avec : $l'_0 = \frac{1}{\chi_0 c_u (r_u + r'_u)}$,

La distance d'atténuation est donc :

$$\boxed{2l'_0 = 2 \frac{\sqrt{l_u}}{c_u (r_u + r'_u)} = \frac{2Z_0}{(r_u + r'_u)}}$$

On peut remarquer que cette expression est cohérente, en effet si $(r_u + r'_u) = 0$, c'est à dire si le câble était sans pertes, la distance caractéristique serait infinie, il n'y aurait pas d'atténuation, et inversement si la résistance était infinie, la distance d'atténuation serait nulle.

□ - 13.

L'application numérique donne, pour le câble Belden 8213, une distance d'atténuation $2l'_0 = 1,3 \cdot 10^4$ m.

Cette distance montre qu'un tel câble peut être utilisé tel quel pour une distance très inférieure à $2l'_0$, donc impossible pour traverser l'atlantique. Pour des distance plus grandes, il faut insérer des amplificateurs de signaux.

À très haute fréquence, l'effet de peau réduit la section utile du câble et augmente la résistance linéique, ainsi la distance d'atténuation diminue avec la fréquence.

□ - 14.

Ici on considère les câbles sans résistance interne, à cause de leur faible longueur.

L'énoncé dit que les décodeurs D et D' sont adaptés aux câbles, cela signifie que vus des câbles qui les déservent, ils apparaissent comme des impédances caractéristiques, donc il n'y a pas d'onde réfléchie sur ces deux câbles.

Par contre en $z < 0$, le câble est relié à deux autres câbles qui apparaissent en parallèle, donc le branchement équivaut à deux impédance Z_0 en parallèles, c'est à dire une impédance équivalente égale à $Z_0/2$. Donc il y a une onde réfléchie.

Pour le montrer, on écrit les conditions limites en $z = 0$:

$$\begin{cases} u_i(0, t) + u_r(0, t) = u_t(0, t) \\ i_i(0, t) + i_r(0, t) = 2i_t(0, t) \end{cases}$$

soit :

$$\begin{cases} u_i(0, t) + u_r(0, t) = u_t(0, t) \\ \frac{1}{Z_0}(u_i(0, t) - u_r(0, t)) = \frac{2}{Z_0}u_t(0, t) \end{cases}$$

en éliminant u_r , on obtient :

$$u_i(0, t) - u_r(0, t) = 2(u_i(0, t) + u_r(0, t)),$$

soit

$$u_r(0, t) = \frac{-1}{3}u_i(0, t),$$

donc l'amplitude, qui correspond à la valeur maximale, donc positive, de l'onde réfléchie est égale à $\frac{U_0}{3}$.

□ - 15.

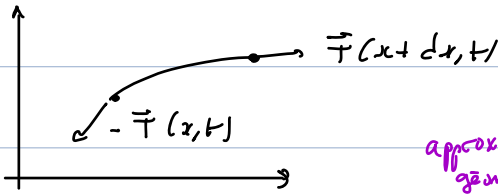
L'amplitude de l'onde transmise, au niveau de $z = 0$ est $u_t(0, t) = U_0 - \frac{U_0}{3} = \frac{2U_0}{3}$.

En effet, en mesurant l'amplitude de l'onde au niveau du décodeur, on mesure une tension plus faible que ce qu'elle devrait être, à savoir $\frac{2U_0}{3}$ au lieu de U_0 , cela permet de déceler la présence d'une installation frauduleuse.

La mesure de ρ doit aussi permettre d'identifier la présence d'une dérivation en $z = 0$, mais comment accède-t-on à la mesure de U_s et U_p ...?

III. Production de la musique

15. $\mathcal{F} = \{ \text{partie du fil, longueur } ds \}$



approximatif géométriques

$$ds = \sqrt{dx^2 + dz^2} = dx \sqrt{1 + \left(\frac{\partial z}{\partial x}\right)^2} \approx dx$$

$$\cos(\alpha(x,t)) = dx/ds \approx 1$$

$$\sin(\alpha(x,t)) = \partial z / \partial x$$

En project sur Ox on obtient: $0 = -T_x(x,t) + T_x(x+dx,t)$

moment $\propto \sin \alpha \Rightarrow T_x(x,t)$ ne dépend pas de x

par ailleurs: $T_x(x,t) = T \cos \alpha \approx T$; T ne dépend pas de x \Rightarrow uniforme } constante
 remar: on réglage le déplacement temporelle de $T \Rightarrow$ stationnaire

16. En project sur Oz: $dm \frac{\partial^2 z}{\partial t^2} = \mu ds \frac{\partial^2 z}{\partial x^2} = T_z(x+dx,t) - T_z(x,t)$

$$\mu dx \frac{\partial^2 z}{\partial t^2} = T \left(\underbrace{\sin \alpha(x+dx,t) - \sin \alpha(x,t)}_{\frac{\partial^2 z}{\partial x^2} dx} \right)$$

$$\frac{\partial^2 z}{\partial t^2} = \frac{T}{\mu} \frac{\partial^2 z}{\partial x^2}$$

et $c = \sqrt{\frac{T}{\mu}}$ vitesse de propagation de la déformation verticale

17. $f(x-ct) \rightarrow \frac{\partial^2 f}{\partial t^2} = c^2 f''$; $\frac{\partial^2 f}{\partial x^2} = f'' \rightarrow c^2 f'' = c^2 f'' \checkmark$

de même pour $g(x+ct)$

$f(x-ct)$ est 1 onde plane progressive, $g(x+ct)$ est 1 OP régressive

18. la corde etant fixée, on a: $y(x=0,t) = y(x=L,t) = 0$

Il vient: $A+B=0 \Rightarrow B=-A$; $z(x,t) = A \left(e^{j(\omega t - kx)} - e^{j(\omega t + kx)} \right)$

en $x=L$: $e^{-j k L} - e^{j k L} = 0 \Rightarrow \sin(kL) = 0 \Rightarrow k_n L = n\pi \Rightarrow \omega_n = \frac{n\pi c}{L}$

$$z_n(x,t) = A e^{j\omega t} \left(e^{-jk_n x} - e^{jk_n x} \right) = -2A e^{j\omega t} \sin(k_n x)$$

$z_n(x,t) = 2A \sin(\omega t + \varphi_0) \sin(k_n x) \Rightarrow$ complexe spatio-temporel: on des stationnaires

19. On a: $\omega_n = \frac{n\pi c}{l} = 2\pi f_n \Rightarrow f_n = \frac{c}{2l} = \frac{1}{2l} \sqrt{\frac{T_0}{\mu}} \Rightarrow T_0 = 4l^2 f_n^2 \mu \Rightarrow T = 20N$

$T > T_c$: la déformation n'est plus élastique

20. relat. de dispers.

$$\mu \frac{\partial^2 z}{\partial t^2} - T \frac{\partial^2 z}{\partial x^2} + E \frac{\pi a^4}{4} \frac{\partial^4 z}{\partial x^4} = 0 \xrightarrow[\text{admet.}]{\text{OPPM}} \mu (j\omega)^2 - T (-jk)^2 + E \frac{\pi a^4}{4} (-jk)^4 = 0$$

$$-\omega^2 \mu + T k^2 + E \frac{\pi a^4}{4} k^4 = 0 \quad \text{par ailleurs les modes propres ont pour}$$

$$k_n = n\pi/l$$

Il vient: $\mu \omega_n^2 = T n^2 \frac{\pi^2}{l^2} + E n^4 \frac{\pi^4 a^4}{4 l^4} \rightarrow \omega_n = 2\pi f_n = n \sqrt{\frac{c^2 \pi^2}{l^2} + \frac{E n^2 \pi^4 a^4}{4 \mu l^4}}$

$$f_n = \frac{n c}{2l} \sqrt{1 + \frac{E \pi^3 a^4}{4 c^2 l^2 \mu} n^2}$$

$$\beta = \frac{\pi^3 a^4}{4 c^2 l^2 \mu} \frac{E}{\mu} = \frac{a^4 \pi^3 E}{4 l^2 T}$$

Il vient: $\frac{B_{er}}{B_{el}} = \frac{E a_{er}^4}{E_{el} a_{el}^4} > 1$ donc $f_{1,er} > f_{1,el} \Rightarrow$ le son est + aigu

Rem: (pour les musiciens) à hautes fréquences le terme B_n^2

devient important, et le son n'est plus harmonique car f_n

n'est plus multiple des fondamentales, et ce pour les 2 types de

cordes.